

عارض مغزی در اثر رادیوتراپی

چکیده:

نکروز ناشی از رادیوتراپی در مغز به طور متوسط ۱ تا ۲ سال بعد از دریافت رادیوتراپی ظاهر پیدا می‌کند. سطح شناختی بیمار در طی چند سال کاهش پیدا می‌کند. شیوع و شدت آن وابسته به دوز و حجم رادیوتراپی شده است و می‌تواند در اثر فاکتورهای: انجام شیمی درمانی همزمان، بالا بودن سن، دیابت و محل رادیوتراپی شده در مغز افزایش پیدا کند. برای رادیوتراپی‌های تقسیطی با دوزهای کمتر از $2/5$ گری شیوع نکروز ناشی از رادیوتراپی $10\%-15\%$ است که در 120 BED گری بین $(100\text{-}140)$ و 150 BED گری $(140\text{-}170)$ پیش‌بینی می‌شود. برای جلسات دو بار در روز، شبیع عارض افزایش می‌یابد که در 1^{st} BED بیشتر از 80 BED گری اتفاق می‌افتد. برای مقادیر بیشتر یا مساوی $2/5$ گری، شیوع و شدت عارض غیر قابل پیش‌بینی است. در رادیوتراپی یک جلسه‌ای یک نسبت واضح بین حجم هدف و ریسک عارض به روشنی دیده می‌شود. اختلالات شناختی در کودکان در دوزهای کوچکتر یا مساوی 18 BED گری به تمام مغز به مقدار زیادی دیده می‌شود. به نظر نمی‌رسد در بزرگسالان بعد از گذشت 4 سال از رادیوتراپی کاهش شناختی غیرقابل برگشتی وجود داشته باشد.

■ دکتر سعید کربمجانی زندی

متخصص رادیوتراپی انکولوژی
مسئل فی کلینیک صدرا

کلید واژگان: تومور مغزی، رادیوتراپی، رادیونکروز.

CLINICAL SIGNIFICANCE

رادیوتراپی نقش مهمی در درمان‌های کیوراتیو و پالیاتیو بیماران مبتلا به تومورهای مغزی اولیه و متاستاتیک دارد. تومورهای مغزی اولیه 22% تومورها را در افراد کمتر از 18 سال تشکیل می‌دهند. متاستاز مغزی در تقریباً 30% بیماران مبتلا به سالید تومورها ایجاد می‌شود. عوارض حاد و دیررس رادیوتراپی بر مغز شایع است. فیلدهای رادیوتراپی استفاده شده جهت درمان تومورهای فوقانی سرو گردن (مثل فارنکس و حفره‌های نازال) اغلب بخشی از مغز را هم در بر می‌گیرد.

ENDPOINT

عارض حاد رادیوتراپی مغز شامل تهوع، استفراغ و سردرد است، سرگیجه و تشنج هم با شیوع کمتری اتفاق می‌افتد. این علائم گذرا بوده و عموماً به درمان‌های دارویی پاسخ می‌دهند. عارض دیررس رادیوتراپی مغز شامل نکروز ناشی از رادیوتراپی و اختلالات شناختی است. بیوپسی به ندرت جهت تأیید شک به نکروز ناشی از رادیوتراپی انجام می‌شود.

1. BED: Biologically Effective Dose

دوز معادل بیولوژیکی که بر اساس جنس اشعه، دوز هر جلسه و پاسخ بافت‌های زود پاسخ و در پاسخ (α/β) و تعداد جلسات درمان متفاوت می‌باشد.

Table 1. Dose-volume predictors of radiation necrosis after stereotactic radiosurgery

| Reference | Diagnosis | Technique | Patients (n) | Dmin* (Gy) | RN incidence (%) | Subgroup (cm ³) | RN incidence (%) | Primary toxicity predictor | Other risk factors |
|-----------|------------------|-------------|--------------|-------------------------|------------------|--|----------------------|------------------------------------|-------------------------------|
| 1 | AVM | GK | 823 | ? | 5 | | | Average dose in 20 cm ³ | |
| 2 | Mixed | LINAC | 133 | 15.0 (7.0–25.0) | 12.8 | V ₁₀ : <10 vs. >10 | 0 vs. 23.7 | V ₁₀ | Location |
| 3 | AVM | GK | 307 | 20.9 (12–30) | 10.7 | | | V ₁₂ | Location |
| 4 | AVM | LINAC | 73 | 16 (10–22) | 14 | Tx volume: <1 1–3.9 4–13.9 >14 | 0 15 14 27 | Treatment volume | Dose, previous brain insult |
| 5 | Mixed | GK | 243 | 20 (10–30) | 7 | | | V ₁₀ | Repeated radiosurgery, Glioma |
| 6 | Mixed | GK | 749 | 18 (16–19) [†] | ? | Prescription volume: 0.05–0.66 0.67–3 3.1–8.6 8.7–95.1 | 0 3 7 9 | Prescription volume | |
| 7 | AVM | Proton beam | 1250 | 10.5 (4–65) | 4.1 | | | Dose and volume combined | Older age, location |
| 8 | AVM | ? | 269 | ? | 4.7 | | | V ₁₂ | |
| 9 | Brain metastases | GK | 137 | 16 (12–25) | 11.4 | Tx volume: <2 ≥2 | 3.7 16 | Volume | |
| 10 | Tumor | GK | 129 | 17.3 (11–25) | 30 | V ₁₂ : 0–5 5–10 10–15 >15 | 23 20 54 57 | V ₁₂ | Location, previous WBRT, male |

Abbreviations: Dmin = minimal dose; RN = radiation necrosis; AVM = arteriovenous malformation; GK = gamma knife; LINAC = linear accelerator teletherapy machine; V₁₀ = percentage of volume receiving ≥10 Gy; V₁₂ = percentage of volume receiving ≥12 Gy; Tx = treatment; WBRT = whole brain radiotherapy.

* Data presented as mean, with range in parentheses, unless otherwise noted.

[†] Range refers to 25th to 75th quartile. Radiation dose–volume effects in brain ● Y. R. LAWRENCE et al.

جدول ۱: فاکتورهای پیش‌بینی کننده تکروز ناشی از رادیوپرایی
دوز - حجم بعد از استرنوتاکتیک رادیوپرسجری

Table 2. Dose–volume predictors of radiation necrosis after fractionated radiotherapy

| Reference | Patients (n) | Disease | Volume | Fraction size* | Prescribed dose (Gy) | Fractions/ week* | BED (Gy) | RN incidence (%) | Comment |
|-----------|--------------|---------|--------|----------------|----------------------|------------------|----------|------------------|--|
| 12 | 141 | NPC | TL | 2 | 66 | 5 | 110 | 0 | 5-y Actuarial rate |
| 12 | 126 | NPC | TL | 2.5 | 60 | 4 | 110 | 0 | " " |
| 12 | 89 | NPC | TL | 2.5 | 60 | 5 | 110 | 1.4 | " " |
| 12 | 53 | NPC | TL | 3.5 | 59.5 | 3 | 129 | 8.1 | " " |
| 12 | 218 | NPC | TL | 2 | 62.5 | 5 | 108 | 1.5 | " " |
| 12 | 109 | NPC | TL | 2 | 62.5 | 5 | 108 | 1.4 | " " |
| 12 | 212 | NPC | TL | 2.5 | 61 | 4 | 119 | 0.6 | " " |
| 12 | 48 | NPC | TL | 1.6 | 71.2 | 10 | 115 | 14 | " " |
| 13 | 56 | NPC | TL | 3.8 | 45.6 | 2 | 103 | 4.8 | 10-y Actuarial rate |
| 13 | 621 | NPC | TL | 4.2 | 50.4 | 2 | 121 | 18.6 | " " |
| 13 | 320 | NPC | TL | 2.5 | 60 | 2 | 110 | 4.6 | " " |
| 12 | 105 | NPC | TL | 2 | 67 | 5 | 112 | 1 | Data represent dose range and fractionation parameters; mean values given; time of evaluation not clearly stated |
| 12 | 378 | NPC | TL | 2 | 67 | 5 | 107 | 1.1 | " " |
| 12 | 86 | NPC | TL | 2.1 | 54 | 5 | 92 | 1.2 | " " |
| 12 | 143 | NPC | TL | 1.9 | 62 | 5 | 101 | 1.4 | " " |
| 12 | 152 | NPC | TL | 3 | 60 | 5 | 120 | 3.3 | " " |
| 12 | 18 | NPC | TL | 2.4 | 60 | 5 | 108 | 5.6 | " " |
| 12 | 82 | NPC | TL | 2.5 | 60 | 5 | 110 | 19.5 | Time of evaluation not clearly stated |
| 12 | 23 | NPC | TL | 1.6 | 67.2 | 10 | 103 | 34.8 | " " |
| 12 | 77 | NPC | TL | 1.6 | 71.2 | 10 | 131 | 40.3 | Received nitrosourea; endpoint, possible RN on 18-mo imaging |
| 14 | 60 | HGG | PB | 1.6 | 51.2 | 10 | 79 | 1.6 | " " |
| 14 | 66 | HGG | PB | 1.2 | 68.4 | 10 | 96 | 6.1 | Assume a/2 of 2, BED included initial and salvage RT; some patients received chemotherapy; range of fraction sizes used; time of evaluation not clearly stated |
| 14 | 51 | HGG | PB | 1.2 | 79.2 | 10 | 111 | 17.7 | " " |
| 15 | 291 | HGG | PB | 2 | ? | 5 | 103 | 4 | " " |
| 15 | 11 | HGG | PB | 2 | ? | 5 | 138 | 9 | " " |
| 15 | 23 | HGG | PB | 2 | ? | 5 | 173 | 17 | " " |
| 15 | 23 | HGG | PB | 2 | ? | 5 | 208 | 22 | " " |
| 16 | 101 | LGG | PB | 1.8 | 50.4 | 5 | 81 | 2.5 | " " |
| 16 | 102 | LGG | PB | 1.8 | 64.8 | 5 | 104 | 11 | " " |
| 17 | 213 | BM | WB | 3 | 30 | 5 | 60 | 0 | Median survival only 6 mo; later events might have been missed; time of evaluation not clearly stated |
| 17 | 216 | BM | WB+B | 1.6 | 54.4 | 10 | 83 | 0.4 | " " |
| 18 | 63 | BM | WB+B | 1.6 | 48 | 10 | 74 | 0.0 | " " |
| 18 | 121 | BM | WB+B | 1.6 | 54.4 | 10 | 83.4 | 1.7 | " " |
| 18 | 105 | BM | WB+B | 1.6 | 64 | 10 | 98.4 | 1.9 | " " |
| 18 | 56 | BM | WB+B | 1.6 | 70.4 | 10 | 108 | 1.8 | " " |
| 19 | 11 | NPC | TL | 1.6 | 64 | 10 | 98 | 27 | Refers to dose received by temporal lobe; time of evaluation not clearly stated |
| 19 | 70 | NPC | TL | 1.2 | 70.8 | 10 | 99 | 0 | " " |

Abbreviations: NPC = nasopharyngeal cancer; TL = temporal lobe; BM = brain metastases; LGG = low-grade glioma; HGG = high grade glioma; WB = whole brain; WB+B = whole brain 32 Gy plus boost; PB = partial brain; RN = radiation necrosis.

* For most fractions.S22

جدول ۲: فاکتورهای پیش‌بینی کننده تکروز ناشی از رادیوپرایی
دوز - حجم بعد از رادیوپرایی تقسیطی

وضوح قابل تشخیص باشد و ادم زیاد در برابر حجم ضایعه‌ی انها نشان شده می‌باشد. گذشت زمان کمک کننده‌ترین ویژگی است، معمولاً بهبود خود به خود ادم و حجم ضایعه با گذشت زمان در تومورهای فعال ناممکن است و بر عکس بدتر شدن ویژگی‌های imaging غیراختصاصی است و می‌تواند با هر دو مورد همراه باشد.

پیگیری توسط تصویربرداری بعد از یک یا دو ماه می‌تواند برای ارزیابی تغییرات دوره‌ای وسیع مفید باشد و برای تصمیم گیری‌های بعدی کمک کننده باشد. (تصویر CT)



تصویر CT

کارآیی سایر مodalیتی‌های تصویربرداری برای افتراق نکروز ناشی از رادیوتراپی از تومورهای فعال در حال مطالعه است. اگرچه ثابت نشده است که هیچ مodalیتی به تنهایی در تأیید تشخیص به اندازه‌ی کافی اختصاصی عمل کند.

Perfusion weighted MRI ممکن است کاهش حجم خون داخل مغزی (CBV¹) را در نکروز ناشی از رادیوتراپی نشان دهد؛ در حالیکه تومورهای فعال همراه با افزایش CBV هستند. دیفیوژن محدود در MRI diffusion weighted imaging کننده تومور اکتیو است. (تصویر MR)

شیوع رادیونکروز در استرئوتاکتیک رادیوسرجری حجم دوز ۱۰ گرمی که حجم بیشتر از ۱۰ سانتی‌متر مکعب داشته باشد، به شدت افزایش پیدا می‌کند.

ریسک فاکتورهای دیگر شامل سن بالا، محل تابش و رادیوتراپی‌های قبلی می‌باشد. در استرئوتاکتیک رادیوسرجری تومورهای مغزی کل دوز اشعه‌ی موردنیاز با فیکساسیون بسیار سخت اسکالپ (فریم‌های کاشته شده بر توسط جراحی)، در یک یا حداکثر دو جلسه داده می‌شود. دوز هر جلسه و به خصوص افزایش دوز توتال می‌تواند شیوع نکروز ناشی از رادیوتراپی را افزایش دهد.

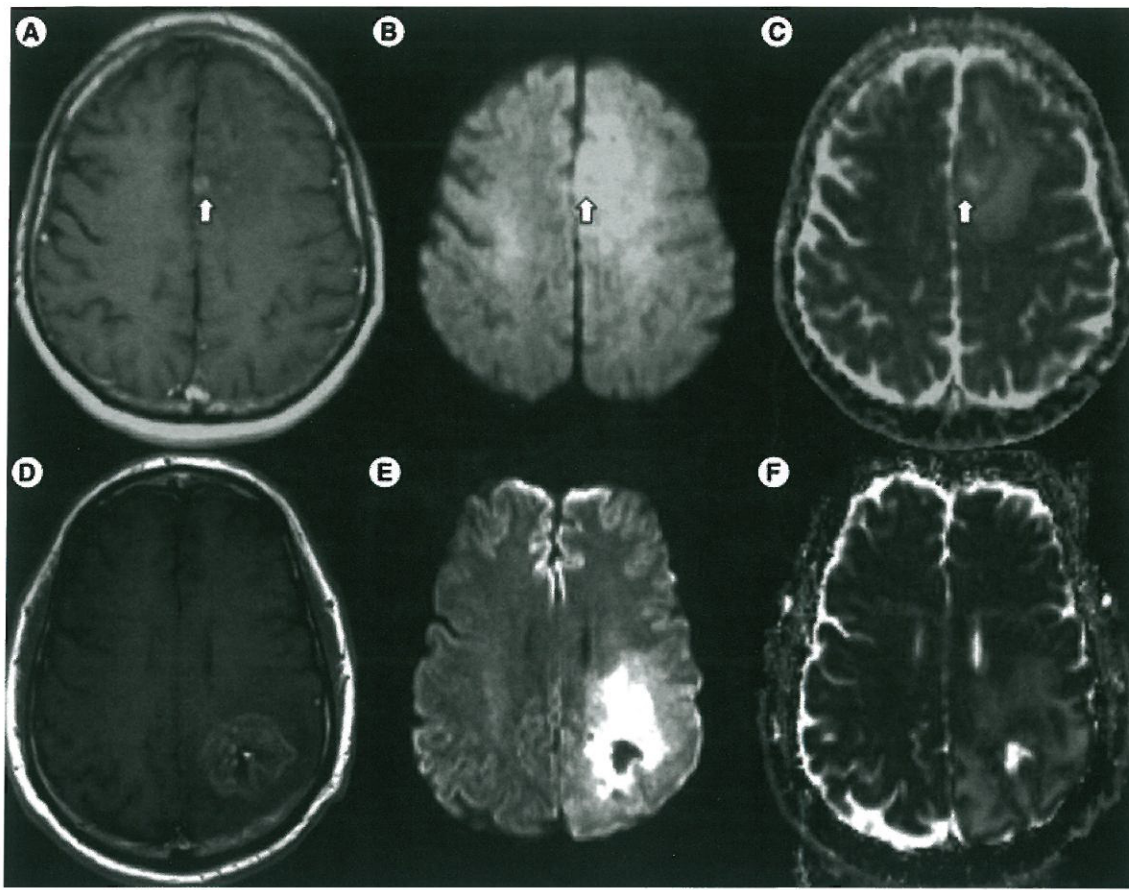
در اکثر مطالعات تعریف نکروز به وسیله علائم جدید و یافته‌های رادیولوژیک مشخص شده است. در بیشتر پژوهش‌ها شیوع توکسیستی دیررس عمدتاً در بیمارانی که زنده مانده‌اند، جمع آوری شده است و نه از بین بیماران در ریسک. بنابراین مقدار ریسک، پایین تخمین زده می‌شود چون برخی افراد که بنا بوده دچار توکسیستی شوند، مرده‌اند. جراحی، شیمی درمانی، استروئیدها، داروهای ضدتشنج و اپیوئیدها تخریب نورولوژیک و فانکشن شناختی دارند و می‌توانند توکسیستی ناشی از رادیوتراپی را تحت تأثیر قرار دهند.

برای رادیوسرجری شیوع نکروز به دوز، حجم و ناحیه رادیوتراپی شده وابسته است. حداکثر دوز تحمل شده برای تارگت‌های ۳۱–۴۰ میلی‌متر، ۱۵ گرمی و برای اهداف ۲۱–۳۰ میلی‌متر، ۱۸ گرمی، برای تارگت‌های کمتر از ۲۰ میلی‌متر، بیشتر از ۲۴ گرمی بوده است. حجمی از مغز که ۱۲ گرمی یا بیشتر را می‌گیرد با شیوع نکروز رادیوتراپی و تغییرات رادیولوژیک ارتباط دارد.

تشخیص:

افتراق عود تومور از نکروز ناشی از رادیوتراپی با تصویربرداری می‌تواند بسیار مشکل باشد. معمولاً conventional MRI یک توده contrast-enhancing با نکروز مرکزی و ادم راکتیو در داخل محل تومور اصلی یا در مجاورت آن و یا محل دریافت کننده بیشترین دوز رادیوتراپی را نشان می‌دهد. این ویژگی در imaging کاملاً با ظاهرات یک تومور مغزی اولیه high grade و متاستازهای مغزی هم پوشانی دارد و بنابراین تفسیر تصاویر می‌تواند چالش برانگیز باشد.

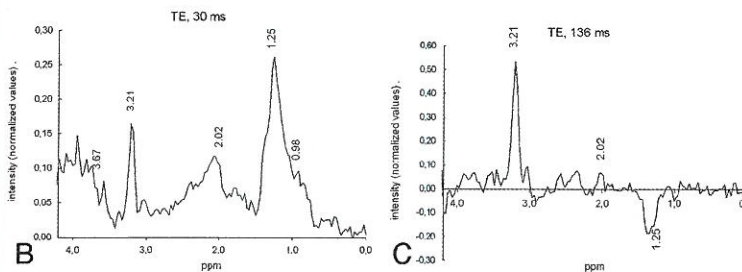
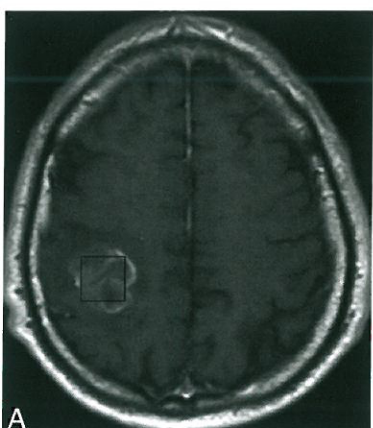
ویژگی‌های conventional imaging که بیشتر به نفع نکروز ناشی از رادیوتراپی است شامل فقدان ضایعه‌ای است که در سکانس T2 به



تصویر MR

Diffusion-weighted images and apparent diffusion coefficient images for low- and high-grade glioma

(A & D) Postcontrast T1-weighted images, (B & E) diffusion-weighted images obtained at $b = 1000 \text{ s/mm}^2$ and (C & F) the corresponding apparent diffusion coefficient maps for patients with (A-C) grade II astrocytoma and (D-F) recurrent glioblastoma, respectively. The bright signal on diffusion-weighted images can result from some combination of restricted diffusion and T2 hyperintensity, the latter of which can occur within edematous tissue, for example. The apparent diffusion coefficient maps eliminate T2 contributions so that restricted diffusion, shown as areas of darker image intensity, can be more clearly delineated. In turn, restricted diffusion may represent areas of increased tumor cell density.



تصویر MRS

A, Axial T1-weighted postcontrast image in a 53-year-old man shows a right frontoparietal necrotic mass. The box shows the VOI used for spectroscopy. The patient's KPS score after surgical debulking was 80. Treatment with chemoradiotherapy was performed. B, STE spectrum shows the presence of lipids at both 0.90 and 1.30 ppm, a large Cho peak (centered at 3.21 ppm), and various resonances between 3.55 and 4.00 ppm. The elective spectroscopy parameter at this TE was in the range of patients with long survival ($\text{NI}_{3.67} = 0.0623$ [> 0.0473 , good prognosis]) as well as the value of the ratio (ratio $I_{3.67}/I_{0.98} = 0.7425$ [> 0.5510 , good prognosis]).

نورولوژیک یا یافته‌های تصویربرداری بر اساس معیارهای MRI مشاهده شد. در گروه پلاسبو هیچ پاسخی دیده نشد و همه آنهایی که روی پلاسبو پیشرفت کردند به بواسیزوماب پاسخ دادند. در سایر گروه‌ها کاهش بهبود علائم تا ۷۵٪ الی ۹۰٪ گزارش شد و حداقل یک گزارش از بدتر شدن علائم بالینی با بواسیزوماب وجود دارد. دوز و دوره‌ی مصرف مطلوب

بواسیزوماب به منظور درمان نکروز ناشی از رادیوتروپایی تعیین نشده است. در مطالعات کوچکی عود علائم و یا عود رادیوگرافیک بعد از قطع بواسیزوماب در ۲ از ۵ و ۱۱ از ۲۰ بیمار گزارش شده است. برخی از بیماران ممکن است به شروع مجدد درمان با بواسیزوماب پاسخ دهند در حالی که هیچ عارضه جانبی جدی در تریال‌های رندومیزه گزارش نشده اما مطالعات بیشتری برای تعیین بهتر پروفایل ایمن بواسیزوماب در کنترل نکروز ناشی از رادیوتروپایی مثل دوز و دوره‌ی درمان مطلوب مورد نیاز است.

رزکشن جراحی بافت نکروزه در برخی موارد لازم است به ویژه در مواردی که بر اساس تغییرات رادیوگرافیک بین پیشرفت تومور یا نکروز شک وجود دارد یا در بیمارانی که دچار نکروز شدید ناشی از رادیوتروپای شده‌اند و منع مصرف بواسیزوماب دارند. جراحی می‌تواند با کاهش اثر فشاری تومور و کاهش نیاز به مصرف استرتوئید بعد از جراحی به تسکین بیمار کمک کند. گزارش شده است که مصرف ضدانعقادها، درمان با آنتی پلاکت‌ها و درمان با اکسیژن پرفشار در موارد محدودی می‌تواند منافعی داشته باشد اما اثربخشی آن در مطالعات آینده نگر ثابت نشده است.

ادامه دارد ...

نهایتاً ممکن است نمونه برداری از ضایعه‌ی مشکوک به منظور تشخیص قطعی مورد نیاز باشد به خصوص در بیمارانی که علامت دار هستند و با گذشت زمان یافته‌های imaging بدتر می‌شوند.

درمان:

در بسیاری از موارد نکروز ناشی از رادیوتروپایی یک روند خودمحدود شونده است که می‌تواند بدون هیچ مداخله‌ای با درمان‌های نگهدارنده کنترل شود. در بیماران علامت دار درمان اولیه با دوز متوسط گلوکوکورتیکوئید (مثل ۴ تا ۸ میلی گرم دگراماتازون روزانه) پیشنهاد می‌شود که معمولاً با کاهش ادم مغزی باعث بهبود سریع علائم می‌شود. بعد از کنترل علائم، گلوکورتیکوئیدها می‌توانند در دوره‌های چند هفته‌ای به تدریج کم شود. عموماً به منظور فالواپ، تصویربرداری بعد از یک یا دو ماه توصیه می‌شود. در بیمارانی که در پاسخ به گلوکورتیکوئیدها به بهبود علائم مشاهده نمی‌شود یا زمانی که کاهش کورتیکواسترۆئیدها با بازگشت علائم همراه است، گزینه‌های درمانی دیگری مثل بواسیزوماب و interstitial laser thermal therapy مورد بررسی قرار گرفته‌اند. در یک مطالعه گذشته‌نگر و یک تریال بالینی کوچک نشان داده شده که بواسیزوماب می‌تواند در موارد انتخابی نکروز مغزی ناشی از رادیوتروپای مفید باشد. در یک تریال بالینی double-blind، چهارده بیمار که با تأیید بررسی‌های رادیوگرافیک و بیوپسی مبتلا به نکروز ناشی از رادیوتروپای شده بودند، به طور تصادفی بواسیزوماب (mg/kg ۷/۵ هر سه هفته رای دوز) یا placebo مصرف کردند.

در گروه بیمارانی که بواسیزوماب مصرف کردند، بهبود علائم

Reference:

- Up To Date; Oct 13, 2016.
- awrence Y.R., Li X.A., Naqa I.E., et al. Radiation dose-volume effects in the brain. Int.J.Radiation oncology boil.phys. Elsevier; 2010